

**XVII МЕЖДУНАРОДНАЯ КОНФЕРЕНЦИЯ
«МЕХАНИКА, РЕСУРС И ДИАГНОСТИКА МАТЕРИАЛОВ И
КОНСТРУКЦИЙ», ИМАШ УрО РАН, 18 - 22 декабря 2023 г.**

**ОПРЕДЕЛЕНИЕ ПЛОТНОСТИ И ДАВЛЕНИЯ ГАЗА ПО ДВУМ ЧАСТОТАМ
ИЗГИБНЫХ КОЛЕБАНИЙ ПЛАСТИНЫ**

А. Г. Хакимов

Институт механики им. Р.Р. Мавлютова УФИЦ РАН, Уфа, Россия

**e-mail: hakimov@anrb.ru*

Находится спектр частот изгибных колебаний пластины, которая помещена в жидкость или газ. Определяется распределенная поперечная нагрузка на пластину при ее цилиндрическом изгибе. Плотности и давления на поверхности пластины могут быть разными. Решение задачи определяется для сжимаемой и несжимаемой сред. Определяется влияние среднего давления и присоединенной массы газовой среды. По собственным частотам изгибных колебаний пластины, контактирующей с жидкостью или газом, определяются плотность и давление окружающей среды. Обратная задача решается с учетом влияния на изгиб среднего давления, изменения кривизны срединной поверхности и присоединенной массы газовой среды.

В работах [1-17] исследуется спектр частот пластин и оболочек, контактирующих с жидкостью и газом, обзор которых приводится в [18]. В последнем рассматривается влияние давления окружающей среды на низшую частоту колебаний пластины с учетом взаимодействия среднего избыточного давления на ее поверхности и кривизны срединной поверхности, а также действие присоединенной массы газовой среды с удаленными границами.

Здесь методика, приведенная в [18], доработана и применена для определения спектра собственных частот пластинки, контактирующей с жидкостью или газом.

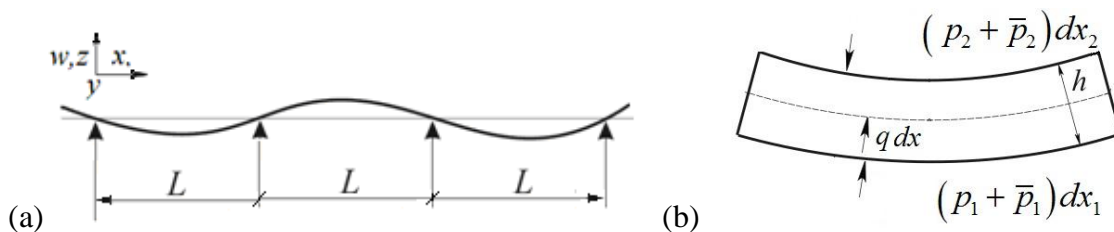


Рис. 1. (a) Расчетная схема. (b) Элемент dx деформированной пластины.

Уравнение движения тонкой пластины при цилиндрическом изгибе имеет вид [18]

$$D \frac{\partial^4 w}{\partial x^4} + \rho h \frac{\partial^2 w}{\partial t^2} = q, \quad D = \frac{Eh^3}{12(1-\nu^2)}. \quad (1)$$

где E , ν , ρ – модуль упругости, коэффициент Пуассона, плотность материала, $w(x, t)$ – прогиб, x , t – координата, время, h – толщина пластины, q – поперечная распределенная нагрузка. Пластина неограниченной длины по оси x опирается на опоры, допускающие свободный поворот и расположенные на равных расстояниях L .

На нижнюю и верхнюю поверхность пластины действуют давления p_1 и p_2 жидкостей с плотностями ρ_1 и ρ_2 (рис. 1, а). Здесь p_1 , p_2 – избыточные давления. Предполагается, что ρ_1 , ρ_2 и p_1 , p_2 остаются постоянными при изгибе пластины.

Несжимаемая среда. Принято, что опоры не препятствуют свободному перетеканию жидкости вдоль пластины в направлении оси x , а области, занятые жидкостями, простираются неограниченно. Давления, вызванные движением пластины, обозначим через \bar{p}_1 и \bar{p}_2 . Используя уравнения движения несжимаемой жидкости относительно потенциала скорости $\varphi(x, z, t)$, условия на поверхностях пластины, также условия на большом удалении от пластины, выражая элементарные длины dx_1 , dx_2 сечений нижней и верхней поверхностей через длину dx срединной линии пластины, где деформации подчиняются гипотезам Кирхгоффа, принимая выражение для прогиба в виде

$$w_n = W_n \sin \beta_n x \sin \omega t, \quad \beta_n = \pi n / L, \quad n = 1, 2, \dots$$

что удовлетворяет условиям $w_n = 0$, $\partial^2 w_n / \partial x^2 = 0$ при $|x| = 0, L, 2L, \dots$, что позволяет перейти к исследованию спектра частот колебаний пластины в среде.

Следуя методике, представленной в [18], определяются потенциалы скорости над и под пластиной, которые выражаются через амплитуду прогиба W_n , акустическое давление на поверхностях пластины представляется в виде

$$\bar{p}_{1n} = -\frac{\rho_1}{\beta_n} \frac{\partial^2 w_n}{\partial t^2}, \quad \bar{p}_{2n} = \frac{\rho_2}{\beta_n} \frac{\partial^2 w_n}{\partial t^2}.$$

В результате находим распределенную поперечную нагрузку

$$q = p_1 - p_2 + \frac{(p_1 + p_2)h}{2} \cdot \frac{\partial^2 w_n}{\partial x^2} - \frac{\rho_1 + \rho_2}{\beta_n} \cdot \frac{\partial^2 w_n}{\partial t^2} + \left[-\frac{\rho_1 - \rho_2}{\beta_n} \cdot \frac{\partial^2 w}{\partial t^2} \right] \frac{h}{2} \frac{\partial^2 w_n}{\partial x^2}. \quad (2)$$

Член в квадратных скобках в выражении (2) может быть опущен для линейной задачи. При $\rho_1 = \rho_2$ этот член обращается в нуль.

Уравнение (1) с учетом (2)

$$D \frac{\partial^4 w_n}{\partial x^4} - \frac{(p_1 + p_2)h}{2} \frac{\partial^2 w_n}{\partial x^2} + \left(\rho h + \frac{\rho_1 + \rho_2}{\beta_n} \right) \frac{\partial^2 w_n}{\partial t^2} = p_1 - p_2. \quad (3)$$

В частном случае $\rho_1 = \rho_2$, $p_1 = p_2$ и функции прогиба, приведенной выше, из (3) получаем для собственной частоты ω_n

$$\omega_n^2 = \omega_{0n}^2 \frac{1 + \alpha_n}{1 + \mu_n}, \quad \omega_{0n}^2 = \frac{D\beta_n^4}{\rho h}, \quad \alpha_n = \frac{p_1 h}{D\beta_n^2}, \quad \mu_n = \frac{2\rho_1}{\rho h\beta_1}, \quad (4)$$

$$\beta_n = \frac{\pi n}{L}, \quad \omega_n = 2\pi f_n, \quad n = 1, 2, \dots$$

Здесь ω_{0n} – частота пластины в вакууме. Влияние давления и плотности окружающей среды определяется величинами α_n и μ_n . Из (4) следует, что давление повышает, а плотность понижает собственные частоты пластины. При $\alpha_n \ll 1$, $\mu_n \ll 1$ влиянием этих параметров можно пренебречь.

При $E = 2 \cdot 10^5$ МПа, $\nu = 0.3$, $\rho = 7.8 \cdot 10^3$ кг/м³, $\rho_1 = 10^3$ кг/м³, $p_0 = 0$, $p_1 = 2$ МПа, $L/h = 10$, $n = 1$, $\alpha_1 \approx 10^{-3}$, $\mu_1 = 0.81$. В этом случае нет влияния давления, но есть значительное уменьшение собственной частоты за счет присоединенной массы. При $p_1 = 20$ МПа, $L/h = 100$, то $\alpha_1 \approx 10^{-4} \cdot 10^4 \approx 1$, $\mu_1 = 8.1$. Расчеты по формулам для несжимаемой жидкости, например, в случае воды имеется только снижение собственной частоты, что является известным результатом [1-3]. Учет влияния давления приводит к изменению частоты.

Обратная задача. Решение обратной задачи определения плотности и давления несжимаемой среды по двум нижшим собственным частотам изгибных колебаний следует из (4) и имеет вид

$$\rho_1 = \frac{\pi \left[12\pi^4 D + \rho h L^4 (4\omega_1^2 - \omega_2^2) \right]}{L^5 (\omega_2^2 - 8\omega_1^2)}, \quad p_1 = \frac{\pi^4 D (32\omega_1^2 - \omega_2^2) - \rho h L^4 \omega_1^2 \omega_2^2}{\pi^2 L^2 h (\omega_2^2 - 8\omega_1^2)} \quad (5)$$

При $E = 76 \cdot 10^3$ МПа, $\nu = 0.37$, $\rho = 10500$ кг/м³, $h = 20$ нм, $L = 2000$ нм, $f_1 = 6.7$ МГц, $f_2 = 26$ МГц решение обратной задачи дает $\rho_1 = 1.680$ кг/м³, $p_1 = 1.292$ МПа.

При $E = 76 \cdot 10^3$ МПа, $\nu = 0.37$, $\rho = 10500$ кг/м³, $h = 20$ нм, $L = 2000$ нм, $f_1 = 6.8$ МГц, $f_2 = 26$ МГц решение обратной задачи дает $\rho_1 = 1.522$ кг/м³, $p_1 = 1.859$ МПа.

Сжимаемая среда. По модели сжимаемой среды имеем [1-3]

$$\frac{\partial^2 \varphi_{1n,2n}}{\partial x^2} + \frac{\partial^2 \varphi_{1n,2n}}{\partial z^2} - \frac{1}{c_{1,2}^2} \cdot \frac{\partial^2 \varphi_{1n,2n}}{\partial t^2} = 0, \quad \bar{p}_{1n,2n} = -\rho_{1,2} \frac{\partial \varphi_{1n,2n}}{\partial t}, \quad c_{1,2}^2 = \kappa_{1,2} \frac{p_{1,2}}{\rho_{1,2}}, \quad (6)$$

где $\kappa_{1,2}$ – коэффициент адиабаты, $c_{1,2}$ – скорость звука. Для сжимаемой жидкости давление и плотность связаны изотермическим законом.

Далее рассматривается частный случай одинаковых сред при одинаковых давлениях ($\rho_1 = \rho_2$, $p_1 = p_2$, $c_1 = c_2$). Для функций прогиба и потенциала скорости

$$w_n = W_n \sin \beta_n x \sin \omega_n t, \quad \varphi_{1n,2n} = \Phi_{1n,2n}(z) \sin \beta_n x \cos \omega_n t$$

из волнового уравнения (5) следует

$$\Phi_{1n,2n} = A_{1n,2n}e^{k_n z} + B_{1n,2n}e^{-k_n z}, \quad k_n^2 = \beta_n^2 - \frac{\omega_n^2}{c_1^2}.$$

Будем рассматривать случай $k_n^2 > 0$. Аналогично [18] определяются динамические давления на поверхности пластины.

Правая часть уравнения (1) равна ($\rho_1 = \rho_2, p_1 = p_2$)

$$q = p_1 h \frac{\partial^2 w_n}{\partial x^2} + \bar{p}_{1n} - \bar{p}_{2n} = p_1 h \frac{\partial^2 w_n}{\partial x^2} + \frac{2\rho_1 \omega_n^2}{k} W_n \sin \beta_n x \sin \omega_n t. \quad (7)$$

Подставив в (1) выражение w_n и q из (7), получим

$$D\beta_n^4 - \rho h \omega_n^2 + p_1 h \beta_n^2 - \frac{2\rho_1 \omega_n^2}{k_n} = 0, \quad \omega_{0n}^2 = \frac{D\beta_n^4}{\rho h}, \quad k_n^2 = \beta_n^2 - \frac{\omega_n^2}{c_1^2}, \quad \beta_n = \frac{\pi n}{L}. \quad (8)$$

$$\omega_{0n}^2 = \frac{D\beta_n^4}{\rho h}, \quad k_n^2 = \beta_n^2 - \frac{\omega_n^2}{c_1^2}, \quad \beta_n = \frac{\pi n}{L}.$$

Из (8) следует

$$1 - Z_n + \alpha_n - \frac{\mu_n Z_n}{\sqrt{1 - \eta_n Z_n}} = 0, \quad \alpha_n = \frac{p_1 \beta_n^2}{\rho \omega_{0n}^2}, \quad \mu_n = \frac{2\rho_1}{\rho h \beta_n}, \quad \eta_n = \frac{\omega_{0n}^2}{c_1^2 \beta_n^2}, \quad Z_n = \frac{\omega_n^2}{\omega_{0n}^2}. \quad (9)$$

Рассмотрим случай $1 - \eta_n Z_n > 0$. Частотное уравнение (9) представим в виде кубического

$$Z_n^3 + b_{1n} Z_n^2 + b_{2n} Z_n - b_{3n} = 0$$

$$b_{1n} = -2\delta_n - \frac{1}{\eta_n} + \frac{\mu_n^2}{\eta_n}, \quad b_{2n} = \delta_n^2 + \frac{2\delta_n}{\eta_n}, \quad b_{3n} = -\frac{\delta_n^2}{\eta_n}, \quad \delta_n = 1 + \alpha_n$$

Низшая собственная частота колебаний равна $f_1 = \omega_1/2\pi$, $\omega_1 = \omega_{01}\sqrt{Z_1}$. При $E = 76 \cdot 10^3$ МПа, $\nu = 0.37$, $\rho = 10500$ кг/м³, $h = 20$ нм, $L = 2000$ нм, $n = 1$, $\kappa_{1,2} = 1.4$, атмосферном давлении $p_a = 0.1$ МПа, плотности воздуха $\rho_{1a} = 1.2928$ кг/м³, $p_1 = 2$ МПа численное решение уравнения (8) дает корень: $Z_1 = 1.10268$. Соответствующая частота равна $f_1 = 6.894$ МГц. Решение кубического уравнения, естественно, дает такой же корень: $Z_1 = 1.10268$.

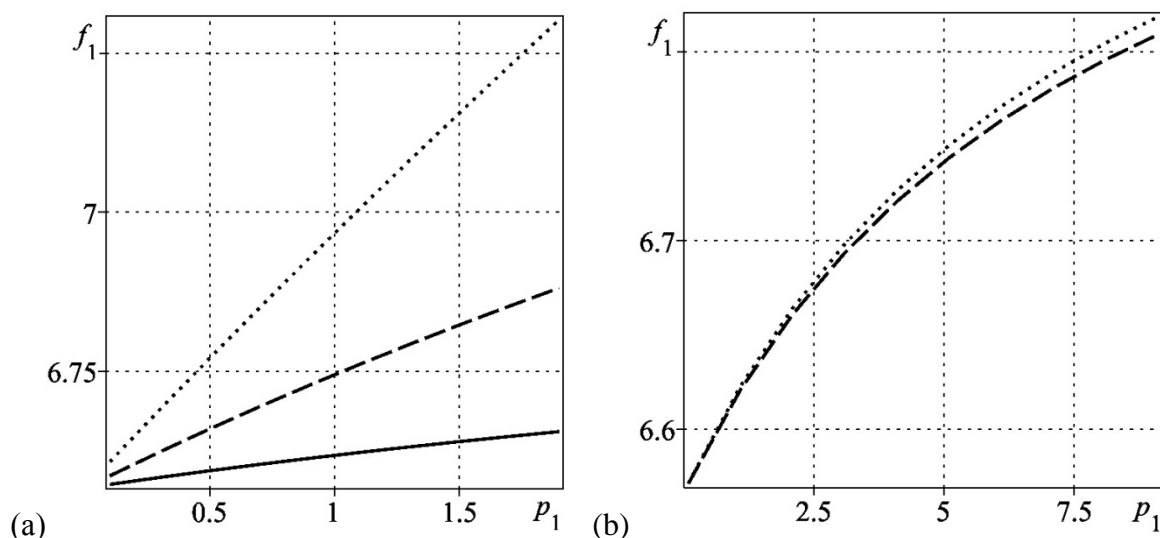


Рис. 2. Графики изменения первой частоты изгибных колебаний пластинки f_1 (МГц) от давления p_1 (МПа): (а) для разных газов: $\rho_1 = 1.97$ (двуокись углерода), 1.29 (воздух), 0.17 (гелий) kg/m^3 (сплошная, штриховая, пунктирная линии соответственно); (б) по формулам для несжимаемой (4) и сжимаемой (9) жидкостей для двуокиси углерода $\rho_1 = 1.97 \text{ kg/m}^3$ (пунктирная, штриховая линии соответственно).

На рис. 2, а дается зависимость первой частоты изгибных колебаний пластинки от давления для разных газов. Из рис. 2, а видно, что собственная частота колебаний возрастает с ростом давления. Уменьшение собственной частоты изгибных колебаний происходит с увеличением плотности газа. На рис. 2, б представлены графики изменения первой частоты изгибных колебаний пластинки от давления по формулам для несжимаемой и сжимаемой жидкостей для двуокиси углерода. Получено, что частоты по формулам для несжимаемой жидкости выше, чем частоты по модели для сжимаемой жидкости из-за увеличения плотности. Видно, что разность частот колебаний возрастает с ростом давления.

На рис. 3, а дается зависимость второй частоты изгибных колебаний пластинки от давления для разных газов. Из рис. 3, а видно, что с ростом давления собственная частота колебаний возрастает для гелия, а для воздуха и углекислого газа частота уменьшается. Происходит уменьшение собственной частоты изгибных колебаний с увеличением плотности. На рис. 3, б представлены графики изменения второй частоты изгибных колебаний пластинки от давления по формулам для несжимаемой и сжимаемой жидкостей для двуокиси углерода. Получено, что частоты по формулам для несжимаемой жидкости выше, чем частоты по модели для сжимаемой жидкости из-за увеличения плотности. Видно, что разность частот колебаний возрастает с ростом давления.

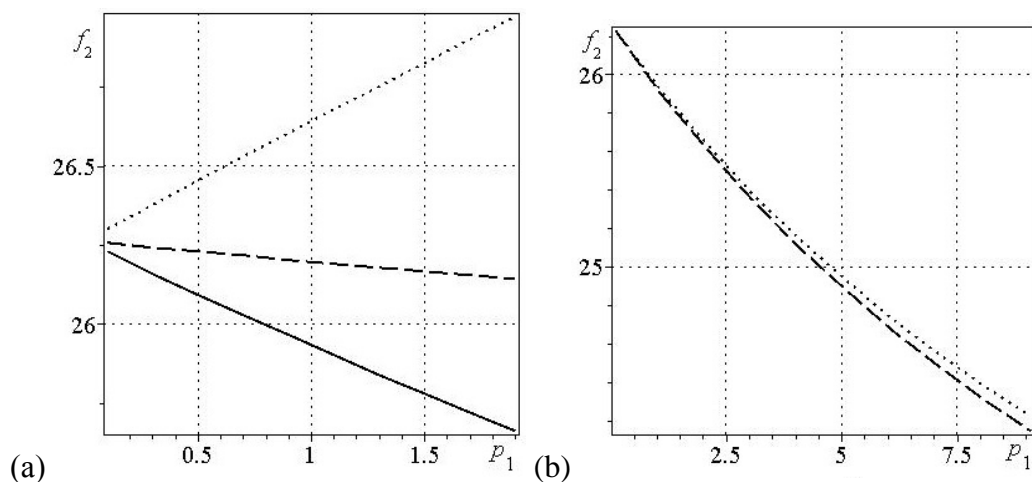


Рис. 3. Графики изменения второй частоты изгибных колебаний пластинки f_2 (МГц) от давления p_1 (МПа): (а) для разных газов: $\rho_1 = 1.97$ (двуокись углерода), 1.29 (воздух), 0.17 (гелий) kg/m^3 (сплошная, штриховая, пунктирная линии соответственно); (б) по формулам для несжимаемой (4) и сжимаемой (9) жидкостей для двуокиси углерода $\rho_1 = 1.97 \text{ kg/m}^3$ (пунктирная, штриховая линии соответственно).

Обратная задача. Решение обратной задачи определения плотности и давления несжимаемой среды по двум нижшим собственным частотам изгибных колебаний следует из (9) и из-за громоздкости здесь не приводится.

Заключение. Получены формулы для определения собственных частот изгибных колебаний пластины в газовой среде. Получено, что с ростом давления вторая собственная частота колебаний возрастает для гелия, а для воздуха и углекислого газа частота уменьшается. Происходит уменьшение собственной частоты изгибных колебаний с увеличением плотности газа.

По собственным частотам изгибных колебаний пластины, контактирующей с жидкостью или газом, определяются плотность и давление окружающей среды.

Финансирование работы. Работа поддержана средствами государственного бюджета по госзаданию (№0246-2023-0015).

СПИСОК ЛИТЕРАТУРЫ

1. *Гонткевич В.С.* Собственные колебания оболочек в жидкости. Киев: Наукова думка, 1964. 102 с.
2. *Ильгамов М.А.* Колебания упругих оболочек, содержащих жидкость и газ. М.: Наука, 1969. 180 с.
3. *Попов А. И., Чернышев Г. Н.* Механика звукоизлучения пластин и оболочек. М.: Физматлит. 1994. 208 с.
4. *Дяченко И.А., Миронов А.А.* Аналитические и численные исследования свободных колебаний цилиндрических оболочек с акустической средой // Проблемы прочности и пластичности. 2021. Т. 83. № 1. С. 35-48. DOI: 10.32326/1814-9146-2021-83-1-35-48
5. *Leizerovich G.S., Taranukha N.A.* Nonobvious features of dynamics of circular cylindrical shells. *Mechanics of Solids*. 2008. Vol. 43. Iss. 2. P. 246–253. DOI: 10.3103/S0025654408020106.
6. *Rawat A., Matsagar V., Nagpal A.* Finite element analysis of thin circular cylindrical shells. *Proceedings of the Indian National Science Academy*. 2016. Vol. 82. No 2. P. 349–355. DOI: 10.16943/ptinsa/2016/48426.
7. *Farshidianfar A., Oliazadeh P.* Free vibration analysis of circular cylindrical shells: comparison of different shell theories. *International Journal of Mechanics and Applications*. 2012. Vol. 2(5). P. 74–80. DOI: 10.5923/j.mechanics.20120205.04.
8. *O’Connell A.D., Hofheinz M., Ansmann M., Bialczak R.C., Lenander M., Lucero E., Neeley M., Sank D., Wang H., Weides M., Wenner J., Martinis J.M., Cleland A.N.* Quantum ground state and single-phonon control of a mechanical resonator // *Nature*. 2010. No. 464. P. 697-703. DOI: 10.1038/nature08967.
9. *Burg T.P., Godin M., Knudsen S.M., Shen W., Carlson G., Foster J.S., Babcock K., Manalis S.R.* Weighing of biomolecules, single cells and single nanoparticles in fluid // *Nature*. 2007. No. 446. P. 1066-1069. DOI: 10.1038/nature05741.
10. *Husale S., Persson H.H.J., Sahin O.* DNA nanomechanics allows direct digital detection of complementary DNA and microRNA targets // *Nature*. 2009. No. 462. P. 1075–1078. DOI: 10.1038/nature08626.
11. *Bleich H. H., Baron M. L.* Free and Forced vibration of an infinitely long cylindrical shell in an infinite acoustic medium // *J. Appl.Mech. Transactions of ASME*, Vol. 21, No. 2, 1954. P. 167-177.
12. *Sirenko Y. M., Stroschio M. A., Kim K. W.* Elastic vibrations of microtubules in a fluid // *Phys. Rev. VOLUME 53, NUMBER 1*. 1996. p. 1003-1010.
13. *Ильгамов М.А.* Влияние давления окружающей среды на изгиб тонкой пластины и пленки // *ДАН*. 2017. Т. 476. № 4. С. 402-405.
14. *Ильгамов М.А.* Влияние поверхностных эффектов на изгиб и колебания нанопленок // *ФТТ*. 2019. Т. 61. № 10. С. 1825-1830.
15. *Ilgamov M.A., Khakimov A.G.* Influence of Pressure on the Frequency Spectrum of Micro and Nanoresonators on Hinged Supports // *Journal of Applied and Computational Mechanics*. 2021. Vol. 7. No.2. P. 977–983. DOI: 10.22055/JACM.2021.36470.2848.
16. *Дмитриев С.В., Сунагатова И.Р., Ильгамов М.А., Павлов И.С.* Собственные частоты радиальных колебаний углеродных нанотрубок // *ЖТФ*. 2021. Т. 91. Вып. 11. С. 1732-1737. DOI:10.21883/JTF.2021.11.51536.127-21
17. *Dmitriev S. V., Semenov A. S., Savin A. V., Ilgamov M. A., Bachurin D. V.* Rotobreather in a carbon nanotube bundle // *Journal of Micromechanics and Molecular Physics* 2021, 2050010. <https://doi.org/10.1142/S2424913020500101>
18. *Ильгамов М.А., Хакимов А.Г.* Влияние давления окружающей среды на низшую частоту колебаний пластины // *Известия РАН. Механика твердого тела*. 2022. №3. С. 88 - 96. <https://doi.org/10.31857/S0572329922030084>